

УДК 514.18

СИНУСОЇДАЛЬНИЙ ВІДБИВАЧ ТЕПЛОВИХ ПРОМЕНІВ

Ю.М.Тормосов, канд. техн. наук, доцент
М.О.Максимова

*Харківська державна академія технології та організації харчування
Національний технічний університет (Харківський політехнічний ін-
ститут)*

Тел. (0572) 30 - 05 - 65, 47 - 34 - 31

Анотація - Розглянуто конструкцію синусоїdalного відби-
вача променів тепла, яка базується на оптичних властивостях си-
нусоїди [1]. Виявлено умову, за якою відбиті промені будуть
спрямовані «паралельно» напряму осі Оу, якщо джерело променів
(тепла) розташувати на відстані Н від вершини і на одному рівні з
кінцями фрагменту синусоїди.

Ключові слова - квазифокус синусоїди, синусоїdalний від-
бивач.

Ця робота є продовженням роботи [1]. Нагадаємо, що в ній
йшлося про оптичні властивості синусоїди як відбивача променів те-
пла. Синусоїду для досліджень обрано тому, що саме такої форми на-
буде профіль згину металевої пластини, коли її згинати двома по-
довжніми силами. Позначимо через Н та S, відповідно, висоту та дов-
жину згину (рис. 1). Через L позначимо довжину металевого листа.
Оберемо прямокутну систему координат Oxy і синусоїду на проміжку
[-π/2, π/2] опишемо рівнянням $y = k(1 - \cos x)$ [2-5].

Коли висота згину Н металевого листа наближено дорівнюва-

тиме $L/5$, то утворена в перерізі сину-
соїда матиме таку властивість [1]: як-
що джерело променів розташувати на
відстані Н від вершини і на одному рі-
вні з кінцями її фрагменту, то відбиті
синусоїдою промені будуть спрямова-
ні «паралельно» напрямку осі Оу.

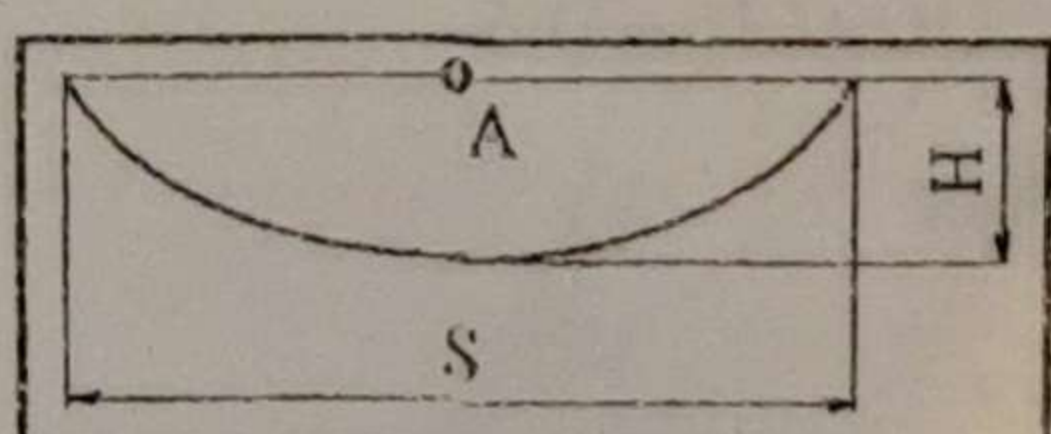


Рис. 1. Висота Н та довжина S
згину перетину листа

Але у такій формі твердження
не є зручним для виготовлення відбивача на практиці. Бажано було б
одержати залежність S від L таке, щоб у разі розміщення джерела
променів у точці А, відбиті від кривої промені були спрямовані «пер-
пендикулярно» осі Ох.

В роботі [1] показано, що квазифокус [2-5] і кінці фрагменту синусоїди будуть розташовані на одному рівні відносно координати у (висоті згину Н металевого листа) тоді, коли у рівнянні синусоїди $y = k(1 - \cos x)$ обрати $k = 0,7072$ (наблизено $\sin(3\pi/4)$). Тобто має місце наступне ключове твердження.

Твердження. Якщо джерело променів розмістити в точці квазифокуса синусоїди $y = 0,7072(1 - \cos x)$, то відбиті синусоїдою промені будуть спрямовані «майже паралельно» вздовж осі Оу, причому, ординату джерела променів буде розташовано на рівні кінців фрагмента синусоїди.

Далі знайдемо залежність від k величин H та S за умови, що довжина фрагменту синусоїди постійна і дорівнює L . Спочатку розв'яжемо допоміжну пряму задачу: обчислимо довжину L' синусоїди $y = k(1 - \cos x)$ на проміжку $-\pi/2 \dots \pi/2$ в залежності від значення параметра k . Зазначимо, що у цьому випадку $S = \pi$ і $H = k$.

Відомо [6], що L' слід обчислювати за формулою

$$L' = 2 \int_0^{\pi/2} \sqrt{1 + k^2 \sin^2 x} dx. \quad (1)$$

Інтеграл (1) є еліптичним інтегралом другого роду $E(ai, \pi/2)$, де i - комплексна одиниця. Для його обчислення складено програму (рис. 2).

```
> restart: with(plots):
> plot(2.*EllipticE(k*I), k=0..1, thickness=2);
> for i from 1 to 14 do k:=0.35+i*0.05:
> print(k, ` `, 2.*EllipticE(k*I)); od:
```

Рис. 2. Програма обчислення L' на проміжку $-\pi/2 \dots \pi/2$

На рис. 3 зображено (нелінійний!) графік залежності L' від значення параметра k . У таблиці 1 наведено деякі числові значення L' довжини синусоїди $y = k(1 - \cos x)$ на проміжку $-\pi/2 \dots \pi/2$ (тут маємо $k = H$).

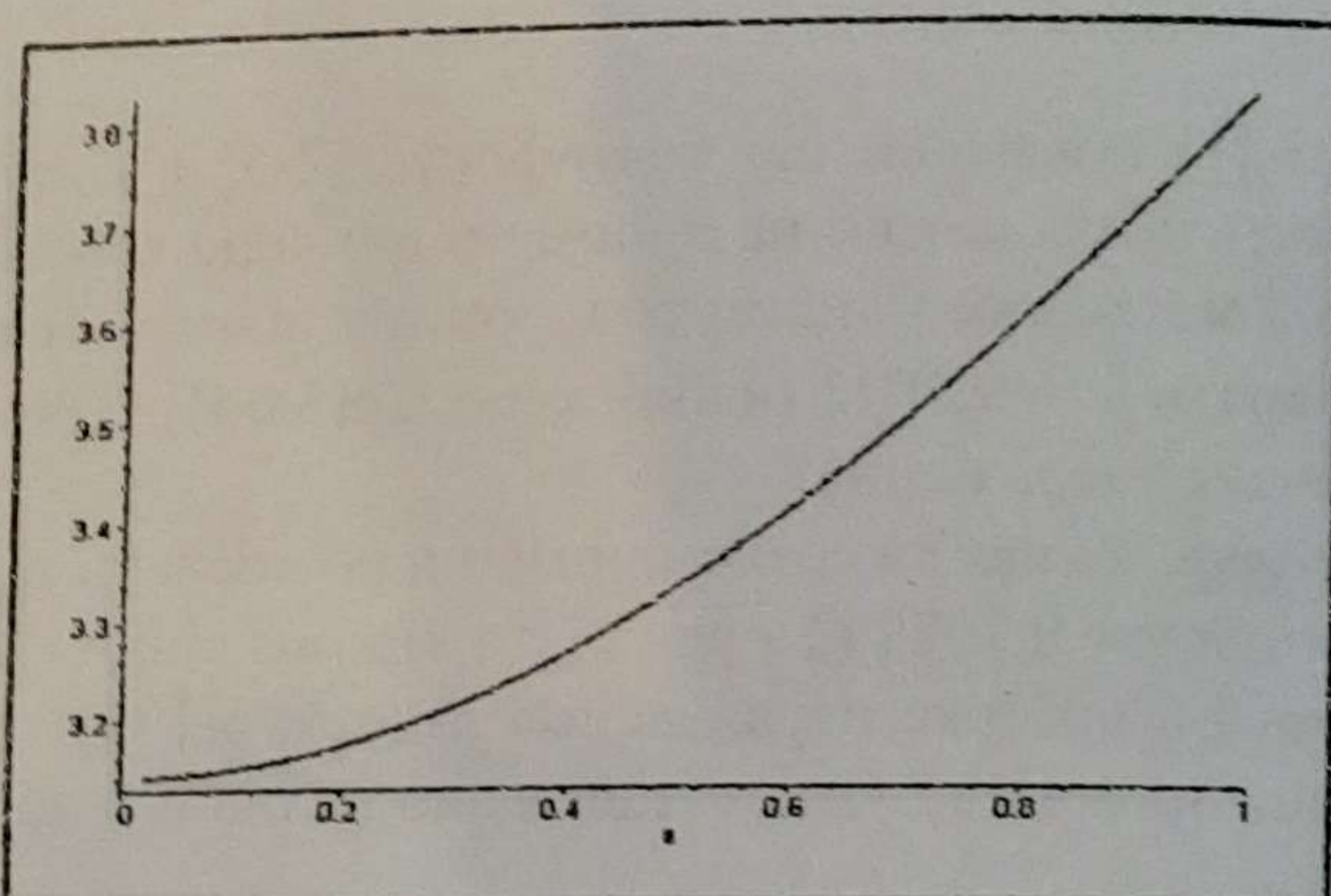


Рис. 3. Графік залежності від параметра k довжини синусоїди $y = k(1 - \cos x)$ на проміжку $-\pi/2 \dots \pi/2$

Таблиця 1

k	0.40	0.45	0.50	0.55	0.60	0.65	0.70
L	3.263718	3.2950565	3.3295836	3.3671621	3.4076527	3.4509158	3.4968130

k	0.75	0.80	0.85	0.90	0.95	1.0	1.05
L	3.545208	3.5959700	3.6489697	3.7040849	3.7611982	3.8201978	3.8809778

Далі розв'яжемо основну *обернену задачу*, яка полягає в обчисленні S в залежності від k за умови, що величину L задано. Задача зводиться до розв'язання інтегрального рівняння

$$L = 2 \int_0^{S/2} \sqrt{1 + k^2 \sin^2 x} dx \quad (2)$$

відносно змінної S за сталими значеннями k . На рис. 4 зображено текст програми обчислень S та H .

```
> restart: with(plots):
> L := 3.4968130: S := L:
> eps := 0.0001: # параметр точності обчислень
> for i from 0 to 10 do k := 0.6 + 0.05*i:
> f := x-> k*(1.-cos(x)): df := diff(f(x),x):
> while 2*evalf(Int(sqrt(1+ (df)^2),x=0..S/2)) > L
> do S := S - eps: od:
> H := f(S/2): print(`k=`,k,` S=`,S,` H=`,H): od:
```

Рис. 4. Maple-програма обчислень S та H .

Таблиця 2

k	0.4	0.5	0.6	0.7	0.8	0.9	1.0
$L = 3.3295836$							
S	3.2026836	3.1415836	3.0745836	3.0044836	2.933383	2.862783	2.7937836
H	.4122163	.4999977	.5799010	.6520494	.7168667	.7749419	.8269707
$L = 3.4076527$							
S	3.2751527	3.2113527	3.1415527	3.0684527	2.994452	2.9210527	2.8493527
H	.4266922	.51743647	.59998801	.67440672	.7411971	.8009580	.8543994
$L = 3.4968130$							
S	3.3580130	3.2911130	3.2180130	3.1415130	3.064113	2.9874130	2.9126130
H	.4431996	.5373452	.6229205	.6999721	.7690158	.8306878	.8857601
$L = 3.5959700$							
S	3.4501700	3.3798700	3.3030700	3.2227700	3.141570	3.0611700	2.9828700
H	.4614709	.5594285	.64839058	.72840427	.7999909	.86381955	.92072195
$L = 3.7040849$							
S	3.5507849	3.4767849	3.3958849	3.3113849	3.225985	3.1415849	3.0593849
H	.48126869	.5834063	.67608229	.75935592	.8337468	.89999651	.95890769

В таблиці 2 наведено значення S та H в залежності від k для L, які взято з таблиці 1. Для тестової перевірки одержаних значень S за-значимо, що при деяких k довжина згину дорівнює значенню π . Ці величини в таблиці 2 позначені товстими рамками.

На рис. 5 наведено Maple-програму для визначення величини S в залежності від L для деяких значень k. Результати поміщені в таблиці 3.

```
> restart: with(plots): k := 0.7072:
> for i from 0 to 10 do
> L := 3. + 0.1*i: S := L: while
2*evalf(Int(sqrt(1.+k^2*sin(x)^2),x=0..S/2)) > L
> do S := S - L/10000.: od:
> H := k*(1.-cos(S/2)):
> print(`L=`,L,` S=`,S,` H=`,H): od:
```

Рис. 5. Maple-програма обчислення S та H в залежності від L.

Таблиця 3

	$k=0.7072$		$k=0.6$		$k=0.8$	
L	S	H	S	H	S	H
3.	2.72940	.562478	2.79150	.495507	2.67450	.614856
3.1	2.81139	.590970	2.87742	.520978	2.75311	.645582
3.2	2.89344	.619678	2.96320	.546553	2.83168	.676530
3.3	2.97495	.648343	3.04920	.572292	2.91027	.707677
3.4	3.05694	.677275	3.13480	.597962	2.98826	.738727
3.5	3.13845	.706088	3.22070	.623726	3.06635	.769910
3.6	3.22020	.734988	3.30624	.649338	3.14460	.801202
3.7	3.30188	.763816	3.39216	.674973	3.22270	.832434
3.8	3.38352	.792537	3.47814	.700488	3.30068	.863567
3.9	3.46554	.821247	3.56460	.725958	3.37896	.894724
4.0	3.54760	.849780	3.65080	.751117	3.45720	.925719

Аналіз даних таблиць 2 та 3 показує, що не зважаючи на нелінійний характер залежностей величин S та H , умова $H = L / 5$ підтверджено виконується для достатньо широкого проміжку зміни L даного діапазону згину.

Це вказує на те, що залежності для S та H можна наблизити у вигляді співвідношення, лінійного відносно L . Проведені розрахунки показали, що для обчислення параметрів згину необхідно використовувати формули $S = 0,9L$ і $H = 0,2L$.

Для експериментальної перевірки результатів розрахунків було виготовлено макет оптичної відбивальної системи (рис. 6). Оптичний відбивач складається з відбивальної дзеркальної поверхні 1 (пластини електричного глянсувача), лампи розжарення як точкового джерела променів 2, натяжного тросу 3 та механізму регулювання величини згину 4.

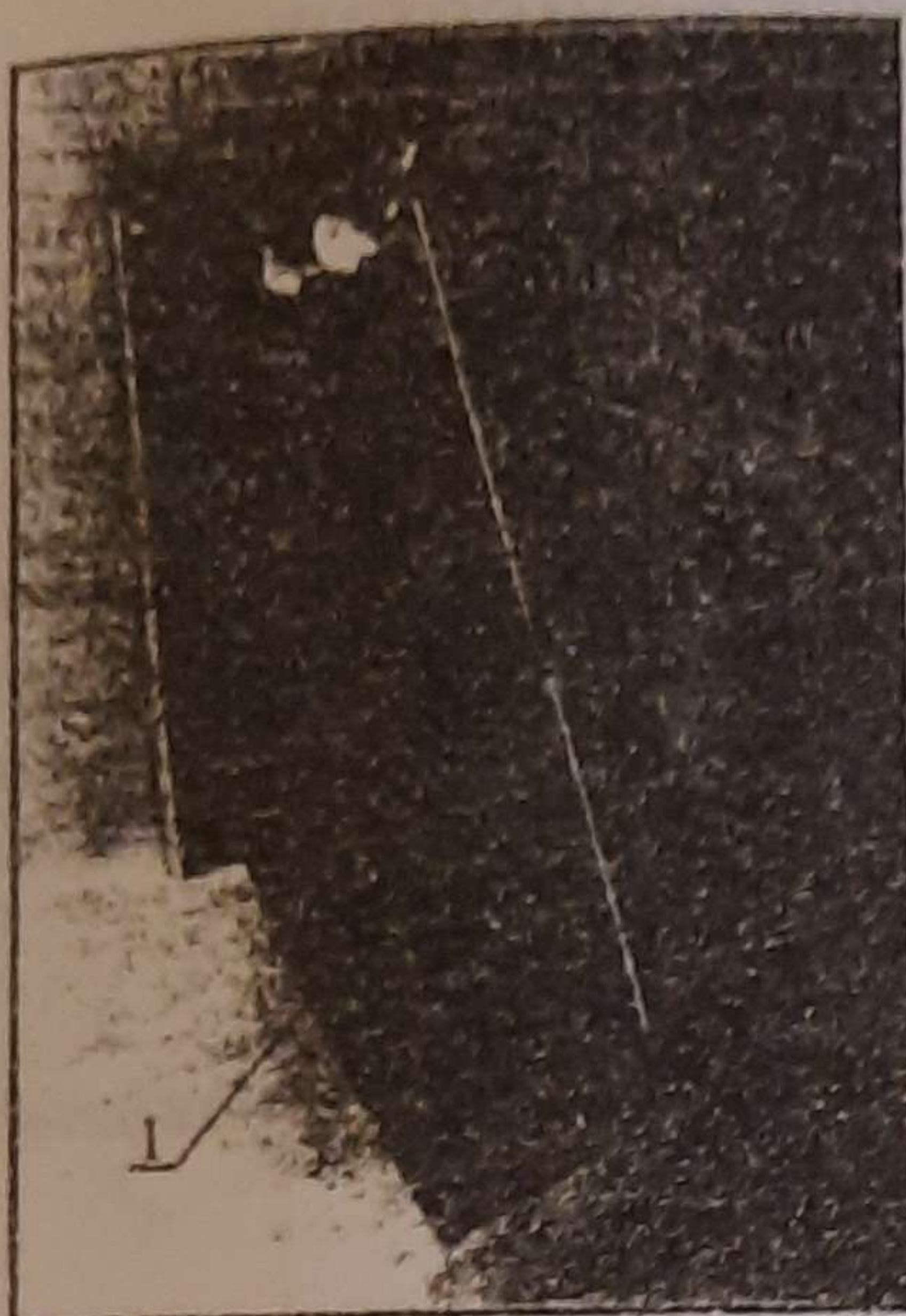


Рис. 6. Макет відбивача

Висновок. Параметри згину металевого листа довжиною L слід обчислювати за наближеними формулами $S = 0,9L$ і $H = 0,2L$; тоді відбивальна система синусоїального типу має функціонувати за умови, що джерело променів буде розміщено на рівні висоти згину H .

Література

1. Тормосов Ю.М., Максимова М.О. Властивості синусоїди як відбивача променів тепла // Труды / Таврическая государственная агротехническая академия. - вып. 4, том 14. - Мелитополь: ТГАТА, 2001 - С. 108 - 112.
2. Рева Г.В., Куценко Л.М. Метод разрахунку відбивачів ударних вибухових хвиль для гасіння лісових пожеж. – Харків: ХІПБ МВС України, 1998. – 19 с.
3. Рева Г.В., Куценко Л.М. Зображення фронту хвилі у відбивальній системі з точковим джерелом променів // Проблемы пожарной безопасности. – Юбил. выпуск. – Ч. 2. – Харьков: ХИПБ МВД Украины. – 1998. – С. 24–28.
4. Залгаллер В.А. Теория огибающих. – М.: Наука, 1975. – 104 с.
5. Рева Г.В., Середа Н.І. Зображення фронту хвилі, яка відбита від циліндричної синусоїальної поверхні // Проблемы пожарной безопасности. Сб. научных трудов. – Юбил. вып. – Ч. 2. – Харьков: ХИПБ МВД Украины. – 1998. – С. 35 – 38.
6. Ноздрин И.Н., Степаненко И.М., Костюк Л.К. Прикладные задачи по высшей математике. - Киев: Выща школа, 1976. - 176 с.